

بررسی آزمایشگاهی عملکرد عدم گرفتگی قطره‌چکان‌های میکروفلابر، کرونا و ادن در آبیاری قطره‌ای

چنور عبدی^۱ و پرویز فتحی^{۲*}

(۱) دانشجوی کارشناسی ارشد؛ گروه علوم و مهندسی آب؛ دانشگاه کردستان؛ دانشکده کشاورزی؛ سنترج؛ ۱۵۱۷۵-۱۶۱۷۷؛ کردستان؛ ایران
استادیار؛ گروه علوم و مهندسی آب؛ دانشگاه کردستان؛ دانشکده کشاورزی؛ سنترج؛ ۱۵۱۷۵-۱۶۱۷۷؛ کردستان؛ ایران
*توپیسنده مسئول مکاتبات: fathip2000@yahoo.com

تاریخ دریافت: ۱۳۹۲/۱۱/۲۷

تاریخ پذیرش: ۱۳۹۲/۰۶/۳۱

چکیده

استفاده از روش‌های آبیاری تحت فشار یکی از مؤثرترین راههای حفاظت از منابع آب به شمار می‌آید. گرفتگی قطره‌چکان‌ها از مهم‌ترین مشکلات بهره‌برداری در سیستم‌های آبیاری قطره‌ای محسوب می‌گردد که باعث کاهش یکنواختی پخش و بازده آبیاری در این سیستم‌ها می‌شود. بررسی عملکرد عدم گرفتگی قطره‌چکان‌ها و تعیین آستانه گرفتگی آنها، نخستین و مهم‌ترین کام در طراحی بهینه سیستم تصویبیه آب آبیاری است. هدف از این پژوهش، بررسی عملکرد عدم گرفتگی فیزیکی سه نوع قطره‌چکان تنظیم کننده فشار میکروفلابر، کرونا و ادن در مقیاس آزمایشگاهی بود. بدین منظور، با ساخت مدل فیزیکی سیستم آبیاری قطره‌ای و مخلوط کردن ذرات شن با اندازه‌ها و غلظت‌های مختلف در آب آبیاری، مقدار دبی قطره‌چکان‌ها در هشت فاز مختلف اندازه‌گیری شد. سپس، شاخص‌های دبی میانگین، نرخ گرفتگی و ضربیت یکنواختی برای هر سه نوع قطره‌چکان در فازهای مختلف آزمون، محاسبه شد. نتایج نشان داد که قطره‌چکان‌های کرونا و ادن به ترتیب با دارا بودن نرخ گرفتگی ۱۲ و ۳۷ درصد بهترین و بدترین عملکرد عدم گرفتگی را دارا هستند. نتایج همچنین نشان داد که ضربیت یکنواختی قطره‌چکان کرونا در همه‌ی فازهای آزمایش بیش از ۹۵ درصد می‌باشد. بر اساس نتایج حاصل از تحقیق حاضر، قطره‌چکان کرونا بهترین عملکرد مقاومت به گرفتگی فیزیکی را دارا بوده و برای استفاده در مزارع و باغات توصیه می‌شود.

کلید واژه‌ها: آبیاری قطره‌ای؛ ذرات شن؛ قطره‌چکان تنظیم کننده فشار؛ گرفتگی

استفاده از هر قطره‌ی آب، پایان دادن به هجوم بی‌رحمانه به منابع آب و اتلاف آن در اثر مصارف بی‌رویه کشاورزی، توجه وافر نمود. استفاده از سیستم‌های تحت فشار نظری آبیاری قطره‌ای یکی از گزینه‌های مؤثر در بالا بردن راندمان آبیاری و استفاده بهینه از منابع آب است (سهرا بی و گارزی، ۱۳۷۵؛ ناصری و همکاران، ۱۳۹۰). لیکن، این سیستم‌ها اغلب به دلایل مختلف قادر به ارائه فواید بالقوه

محدودیت منابع آب جهت مصارف کشاورزی و افزایش بی‌رویه جمعیت لزوم صرف‌جویی در مصرف آب را بیش از پیش اجتناب ناپذیر نموده است. بر اساس شاخص‌های تعیین بحران آب، در حال حاضر ایران به دلیل حجم محدود منابع آب، در آستانه تنش و حتی بحران شدید قرار گرفته است (حجاری و گرجی، ۱۳۸۶). در توسعه پایدار باید به مفاهیم صرف‌جویی یا حداقل

مورد ارزیابی قرار دادند. آنها به این نتیجه رسیدند که ورود مواد فیزیکی به خصوص ذرات خاک به درون سیستم و ایجاد رسوب در بلند مدت، باعث شده که در برخی از طرح‌ها یکنواختی پخش آب پایین باشد.

Gilbert و همکاران (۱۹۷۹) گزارش نمودند که ۵۵ درصد گرفتگی قطره‌چکان‌ها مربوط به عوامل فیزیکی است. عوامل بیولوژیک و شیمیایی به ترتیب باعث ۱۴ و ۲ درصد گرفتگی در قطره‌چکان‌ها می‌شوند و ۱۸ درصد گرفتگی‌ها نیز به دلیل تأثیرات ترکیبی عوامل فوق الذکر است. (اردشیری و معاضد، ۱۳۹۰) با بررسی تأثیر غلظت مواد کلولیدی و زمان کارکرد سیستم آبیاری قطره‌ای بر کاهش دبی قطره‌چکان‌های نتافیم و لوله‌های قطره‌چکان‌دار گزارش کردند که با افزایش غلظت مواد کلولیدی، گرفتگی قطره‌چکان‌ها افزایش می‌یابد.

Wei و همکاران (۲۰۰۸a) نیز با بررسی آزمایشگاهی گرفتگی فیزیکی قطره‌چکان‌های آبیاری قطره‌ای گزارش نمودند که ورود ذرات ریز باعث گرفتگی قطره‌چکان‌ها و رسوب این ذرات در قسمت خروجی مجرأ و بعضی از گوشش‌های مجرای داخلی قطره‌چکان می‌گردد. هدف از تحقیق حاضر بررسی پتانسیل عملکرد عدم گرفتگی فیزیکی سه نوع قطره‌چکان تنظیم کننده فشار ساخت خارج از کشور و رایج در بازار ایران است.

مواد و روش‌ها

در این تحقیق از قطره‌چکان‌های روی خط و تنظیم کننده فشار کرونا، ادن و میکروفلاپر استفاده شد. قبل از شروع آزمایش‌ها، ضریب تغییرات ساخت هر سه نوع قطره‌چکان مطابق با استاندارد ایزو ۹۲۶۱ و استاندارد ۶۷۷۵ مؤسسه استاندارد و تحقیقات صنعتی ایران تعیین گردید. در جدول ۱ خصوصیات ۳ نوع قطره‌چکان مورد استفاده در سیستم ارائه شده است.

خود نیستند. مهمترین مشکل در استفاده بهینه از سیستم‌های آبیاری قطره‌ای برای آبیاری مزارع و باغات، گرفتگی قطره‌چکان‌ها است (Keller and Bliesner, 1990). عوامل متعددی نظیر فشار، دمای آب آبیاری، ضریب تغییرات ساخت و مقدار آبدهی قطره‌چکان‌ها و کیفیت نامناسب آب آبیاری، سبب انسداد قطره‌چکان‌ها و کاهش آبدهی قطره‌چکان‌ها می‌گردد (Balogh and Gergely, 1985). گرفتگی قطره‌چکان‌ها موجب توزیع نامناسب آب در سطح مزرعه شده و متعاقباً کاهش عملکرد محصولات زراعی و باغی می‌شود (Nakayama and Bucks, 1981). گرفتگی قطره‌چکان‌ها شامل سه نوع فیزیکی، شیمیایی و بیولوژیکی است. تحقیقات نشان داده که گرفتگی فیزیکی ناشی از ذرات جامد، مهمترین عامل گرفتگی و کاهش آبدهی قطره‌چکان‌ها است (Nakayama and Bucks, 1991; Pitts et al., 2003; Wei et al., 2008b). قطره‌چکان‌ها به دلیل دارا بودن هندسه پیچیده و مجرای ریز برای عبور جریان، به آسانی به وسیله ذرات جامد موجود در آب آبیاری گرفته می‌شوند.

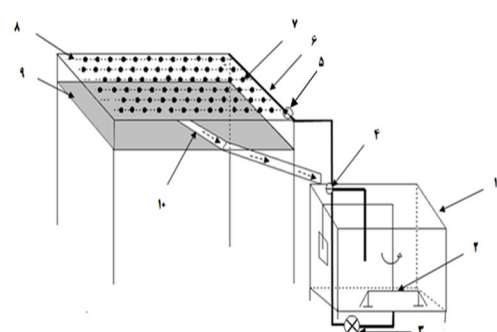
Pitt و همکاران (۱۹۹۰) اشاره نمودند که مهمترین عامل گرفتگی قطره‌چکان‌ها، گرفتگی فیزیکی است. (زارعی و همکاران، ۱۳۸۵) علل گرفتگی قطره‌چکان‌ها در شرایط آب و هوایی ایران را مورد ارزیابی قرار داده و گزارش نمودند که ورود مواد فیزیکی معلق به داخل سیستم باعث ایجاد گرفتگی شده و یکنواختی پخش را پایین می‌آورد. حسن‌زاده و فتحی (۱۳۹۲) اثر قطر ذرات بر گرفتگی فیزیکی نوارهای آبیاری قطره‌ای را بررسی نمودند. نتایج نشان داد که تأثیر قطر ذرات ریز بر گرفتگی قطره‌چکان‌ها در سطح احتمال ۱ درصد معنی‌دار است. همچنین با کاهش قطر ذرات، میزان گرفتگی افزایش می‌یابد به‌طوری که در اندازه ذرات با قطرهای کمتر از ۰/۰۳۷ میلی‌متر، بیشترین گرفتگی در قطره‌چکان‌ها ایجاد می‌شود. ذوالفقاران و همکاران (۱۳۸۲) هدفه سیستم آبیاری قطره‌ای در سه استان کرمان، سمنان و خراسان را

جدول ۱. مشخصات قطره‌چکان‌های مورد استفاده در تحقیق

	قطره‌چکان	دبی اسخی	دامنه کاری فشار (لیتر بر ساعت)	ضریب تغییرات ساخت (٪)	فشار میانی (متر)	رژیم جریان
آشفته	میکروفلابر	۴	۱۰-۳۵	۲۲/۵	۳/۴	
آشفته	کرونا	۴	۵-۴۰	۲۲/۵	۳/۸	
آشفته	ادن	۴/۶	۱۰-۴۰	۲۵	۷/۹	

آزمایشات در سه تکرار و طبق استاندارد فوق الذکر، در هشت فاز با غلاظت‌ها و اندازه‌های مختلف از ذرات شن به این صورت انجام گرفت که ابتدا ۲۵ عدد از قطره‌چکان مورد نظر (Anonymous, 2003)، به فواصل ۳۰ سانتی‌متر، روی لاترال‌ها نصب گردید. سپس در فاز اول منبع آب تا حجم مورد نظر از آب شرب پر گردید در ادامه ذرات شن با بازه قطعی F220 و غلاظت ۲۵۰ میلی‌گرم بر لیتر (جدول ۲)، به آب داخل تانک اضافه شد. سپس شیر ابتدایی لاترال‌ها باز و با استفاده از فشار سنج و به مدت ۱۵ دقیقه، فشار کارکرد قطره‌چکان‌ها برابر فشار میانی (مطابق جدول ۱) قرار داده شد. در ادامه به روش وزنی، دبی خروجی از تمامی قطره‌چکان‌ها در زمان‌های ۱۴ تا ۱۵ دقیقه از شروع آزمایش اندازه‌گیری گردید. سپس سیستم به مدت ۳۰ دقیقه (تا دقیقه ۴۵ ام) خاموش شد. نهایتاً در زمان ۴۵ دقیقه از شروع آزمایش، مجدداً سیستم به مدت ۵ دقیقه روشن شد. برای انجام فاز بعدی آزمایش (از ۸ فاز)، ذرات با بازه قطعی و غلاظت مربوطه (جدول ۲)، به آب مخزن اضافه و آزمایش مشابه مراحل فوق الذکر قبلی تکرار گردید (Wei et al., 2008b; Anonymous, 2003). مطابق استاندارد ایزو ۲۰۰۳، از فاز ۱ به سمت فاز ۸ به تدریج اندازه و غلاظت ذرات شن افزایش می‌یابد (Anonymous, 2003). قبل از انجام آزمایش برای قطره‌چکان جدید، ابتدا لاترال‌های حاوی قطره‌چکان‌های قبلی جدا و سیستم (شامل مخزن، شیرها، لوله‌های اصلی و نیمه اصلی) کاملاً شستشو داده شد تا ذرات باقی‌مانده از آزمایش قبلی از داخل آن خارج گردد. سپس لاترال‌ها با قطره‌چکان جدید روی مدل نصب و آزمایشات در هشت فاز (جدول ۲) تکرار گردید. در این

در ادامه تحقیق، به منظور بررسی عملکرد عدم گرفتگی قطره‌چکان‌ها، یک مدل فیزیکی آبیاری قطره‌ای در آزمایشگاه تحقیقات آب و خاک گروه علوم و مهندسی آب، دانشگاه کردستان طراحی و اجرا گردید. در شکل ۱ نقشه شماتیک مدل مذکور نمایش داده شده است. مطابق شکل، این مدل شامل مخزن آب (۱) با حجم ۱۰۰۰ لیتر (برای مخلوط نمودن آب و ذرات شن)، یک پروانه گردان (۲) (برای معلق سازی یکنواخت ذرات ریز شن در داخل آب)، یک دستگاه الکتروپمپ افقی خشک مدل (KF4) (۳)، شیر تنظیم فشار آب (۴)، فشارسنج (۵) با دقت یک متر، لوله نیمه اصلی (۶) به قطر ۵۰ میلی‌متر، قطره‌چکان‌ها (۷)، شش لوله لاترال (۸) به قطر ۱۶ میلی‌متر و طول ۴ متر با شیرهای انشعب و رودی در ابتدا و انتهای آنها، صفحه فلزی (۹) جهت نگهداری ظروف اندازه‌گیری دبی و ناودانی (۱۰) برای هدایت آب خروجی به مخزن آب بود. در این تحقیق مطابق با استاندارد ایزو ۲۰۰۳ از هیچ وسیله‌ای برای تصفیه آب استفاده نشد (Anonymous, 2003). برای انجام آزمون گرفتگی، از ذرات شن با بازه‌های قطعی ۴۵ تا ۲۵۰ میکرومتر (جدول ۲) استفاده گردید (Anonymous, 2003).



شکل ۱. نقشه شماتیک مدل فیزیکی آبیاری قطره‌ای

قطره چکان شود، بیانگر گرفتگی بحرانی آن قطره چکان است (Anonymous, 2003).

تحقیق مطابق استاندارد مذکور، دمای آب مورد استفاده ۲۳ درجه سانتی گراد در نظر گرفته شد. همچنین، اگر میانگین دبی قطره چکان‌ها کمتر از ۷۵ درصد دبی اسمی

جدول ۲- اندازه الکها و غلظت ذرات شن مورد استفاده در مراحل مختلف آزمون گرفتگی قطره چکان‌ها

غلظت کل (mg/lit)	F60	F70	F80	F100	F120	F150	F180	F220*	نام بازه قطری
	180	150	125	90	75	63	53	45	قطره چکان‌ها (μm)
	212	180	150	106	90	75	63	53	
250	212	180	125	106	90	75	75	63	
۲۵۰	-	-	-	-	-	-	-	۲۵۰	غلظت ذرات در فاز ۱
۵۰۰	-	-	-	-	-	-	-	۲۵۰	غلظت ذرات در فاز ۲
۷۵۰	-	-	-	-	-	۲۵۰	۲۵۰	۲۵۰	غلظت ذرات در فاز ۳
۱۰۰۰	-	-	-	-	۲۵۰	۲۵۰	۲۵۰	۲۵۰	غلظت ذرات در فاز ۴
۱۲۵۰	-	-	-	۲۵۰	۲۵۰	۲۵۰	۲۵۰	۲۵۰	غلظت ذرات در فاز ۵
۱۵۰۰	-	-	۲۵۰	۲۵۰	۲۵۰	۲۵۰	۲۵۰	۲۵۰	غلظت ذرات در فاز ۶
۱۷۵۰	-	۲۵۰	۲۵۰	۲۵۰	۲۵۰	۲۵۰	۲۵۰	۲۵۰	غلظت ذرات در فاز ۷
۲۰۰۰	۲۵۰	۲۵۰	۲۵۰	۲۵۰	۲۵۰	۲۵۰	۲۵۰	۲۵۰	غلظت ذرات در فاز ۸

*اندازه و درصد ذرات شن که هر مرحله مطابق استاندارد ایزو ۸۴۸۶-۱ اضافه می‌شوند.

قطره چکان‌ها، q_i دبی اندازه‌گیری شده قطره چکان i ام، Cu ضریب یکنواختی کریستیان سن است.

برای مقایسه عملکرد عدم گرفتگی قطره چکان‌ها از شاخص‌های آماری نرخ گرفتگی، دبی میانگین، ضریب یکنواختی کریستیان سن استفاده گردید. بیان ریاضی شاخص‌های فوق الذکر به صورت معادله‌های ۱ الی ۳ است (Wei et al., 2008b; Niu et al., 2012).

$$c_r = 100 \left| 1 - \frac{\bar{q}}{q_v} \right| \quad (1)$$

$$\bar{q} = (\sum_{i=1}^n q_i) / n \quad (2)$$

$$Cu = 100 \left(1 - \frac{\sum_{i=1}^n |q_i - \bar{q}|}{\sum_{i=1}^n q_i} \right) \quad (3)$$

نتایج و بحث
مقدار میانگین دبی قطره چکان‌های میکروفلاپر، کرونا و ادن در فازهای مختلف آزمون، در جدول ۳ نمایش داده شده است. مشاهده جدول ۳ نشان می‌دهد که مقدار دبی میانگین قطره چکان‌ها، از فاز ۱ به سمت فاز ۸ کاهش می‌یابد این امر شاید به دلیل گرفته شدن قطره چکان‌ها توسط ذرات ریز شن باشد. همچنین مقدار کاهش دبی در قطره چکان کرونا کمتر از دو قطره چکان دیگر است.

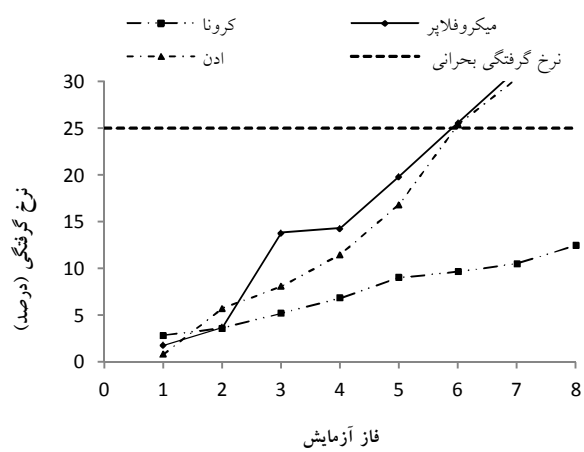
که در آن، c_r نرخ گرفتگی قطره چکان بر حسب درصد، q_v دبی متوسط قطره چکان بر حسب لیتر بر ساعت، q_i دبی اسمی قطره چکان بر حسب لیتر بر ساعت، n تعداد کل

جدول ۳- مقادیر دبی میانگین قطره چکان‌ها بر حسب لیتر بر ساعت در فازهای مختلف آزمایش

نوع قطره چکان	فاز ۱	فاز ۲	فاز ۳	فاز ۴	فاز ۵	فاز ۶	فاز ۷	فاز ۸
میکروفلاپر	۴/۰۷	۴/۰۴	۳/۵۳	۳/۶۰	۳/۴۹	۲/۹۸	۲/۷۵	۲/۶۶
کرونا	۳/۹۹	۳/۹۵	۳/۸۸	۳/۸۱	۳/۷۲	۳/۷۰	۳/۶۷	۳/۰۹
ادن	۴/۶۲	۴/۳۶	۴/۲۶	۴/۰۹	۳/۸۵	۳/۴۵	۳/۲۱	۳/۸۶

قطرهچکان‌های میکروفلاپر و ادن با پیشرفت آزمایش از فاز ۱ به فاز ۸ به تدریج نرخ گرفتگی افزایش پیدا می‌کند. در دو قطرهچکان فوق‌الذکر گرفتگی قطرهچکان‌ها در فاز ششم اتفاق می‌افتد. همچنین نرخ گرفتگی در قطرهچکان کرونا در هیچ مرحله‌ای از مقدار بحرانی بیشتر نبوده و لذا این قطرهچکان در هیچ فازی، دچار گرفتگی بحرانی نشده است.

مقادیر نرخ گرفتگی قطرهچکان‌های کرونا، میکروفلاپر و ادن در فازهای مختلف آزمون در شکل ۲ ترسیم گردیده است. مطابق با استاندارد ایزو ۲۰۰۳، قطرهچکان‌هایی که دبی اندازه‌گیری شده آنها کمتر از ۷۵ درصد دبی اسمی آنها گردد، گرفته نامیده می‌شوند. همچنین اگر نرخ گرفتگی در آنها بیشتر از ۲۵ درصد ($c_r = 25\%$) شود نرخ گرفتگی در آنها بحرانی خواهد بود (Anonymous, 2003; Wei et al., 2008b). مشاهده شکل ۲ نشان می‌دهد که در



شکل ۲. تغییرات نرخ گرفتگی قطرهچکان‌ها در فازهای مختلف آزمون

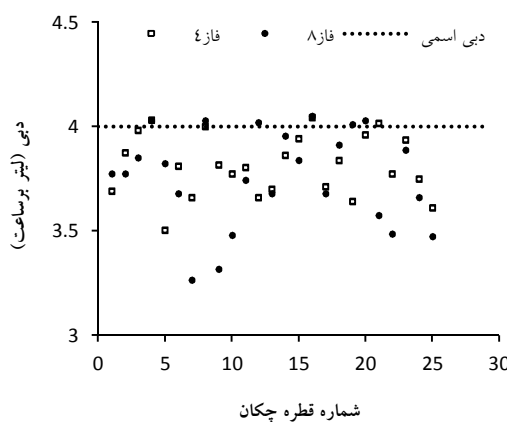
اسمی آنها است که یکی از دلایل آن شاید گرفتگی سایر قطرهچکان‌ها و تأثیر آن بر آبدیهی قطرهچکان‌های گرفته نشده باشد. این نتیجه مشابه نتایجی است که در تحقیقات (Bralts et al., 1981)، (Boman, 1995) و (Wei et al., 2008b) گزارش شده است.

تغییرات دبی قطرهچکان‌ها می‌تواند به دلیل تأثیر ضربی تغییرات ساخت آنها نیز باشد (Solomon, 1985). بر اساس دستورالعمل انجمن مهندسان کشاورزی آمریکا (ASAE) (علیزاده، ۱۳۸۸)، ضربی تغییرات ساخت دو قطرهچکان میکروفلاپر و کرونا در درجه عالی و قطرهچکان ادن در درجه متوسط قرار گرفت. لذا ضربی تغییرات ساخت آنها تأثیر معنی‌داری بر تغییرات دبی و مقاومت به گرفتگی قطرهچکان‌ها ندارد و تغییرات دبی به وجود آمده در قطرهچکان‌ها به دلیل گرفتگی قطرهچکان‌ها است.

مقادیر تغییرات دبی قطرهچکان‌های مورد مطالعه در فازهای چهار و هشت از آزمون گرفتگی به صورت شکل‌های ۳ تا ۵ نمایش داده شده است. مشاهده این شکل‌ها نشان می‌دهد که تغییرات دبی در قطرهچکان کرونا در هر دو فاز، تقریباً مشابه هم بوده و کمتر از تغییرات دبی در قطرهچکان میکروفلاپر و ادن است. لیکن، دامنه نوسانات دبی در قطرهچکان‌های میکروفلاپر و ادن زیاد بوده و بعضی از قطرهچکان‌ها کاملاً گرفته شده‌اند.

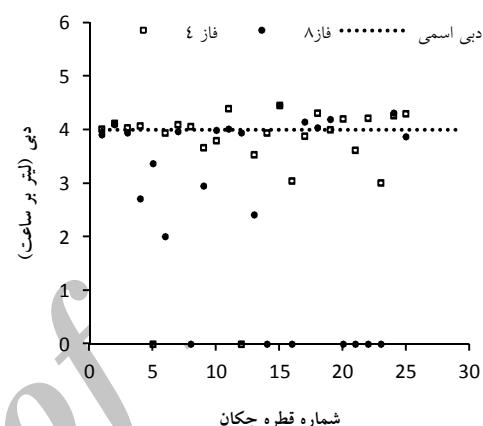
به طور کلی در هر سه نوع قطرهچکان تغییرات دبی در فاز ۴ کمتر از فاز ۸ است که دلیل آن افزایش غلظت و قطر ذرات شن و گرفته شدن تعداد بیشتری از قطرهچکان‌ها در فاز هشتم است. همچنین در شکل‌های مذکور دبی بیشتر قطرهچکان‌ها کمتر از دبی اسمی آنها بوده، اما در بعضی از قطرهچکان‌ها، دبی بیشتر از دبی

بالا و پتانسیل عملکرد عدم گرفتگی عالی است. در قطره‌چکان میکروفلاپر، ضریب یکنواختی کریستیان سن از فاز چهارم به بعد سریعاً کاهش پیدا نموده است. در قطره‌چکان ادن نیز ضریب یکنواختی کریستیان سن در مراحل آخر آزمون کاهش چشمگیری داشته است.

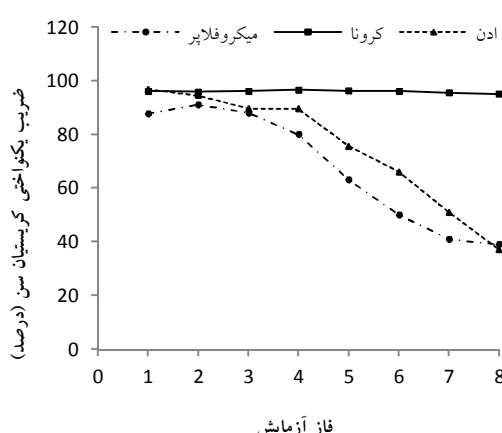


شکل ۴. تغییرات دبی قطره‌چکان‌های میکرو فلاپر

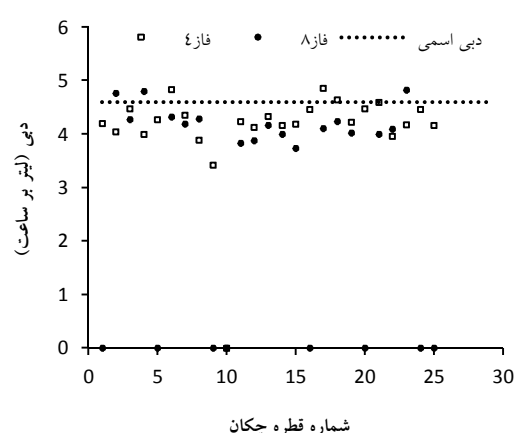
مقدادیر ضریب یکنواختی کریستیان سن قطره‌چکان‌های میکروفلاپر، ادن و کرونا در فازهای مختلف آزمون به صورت شکل ۶ نمایش داده شده است. شکل مذکور نشان می‌دهد که ضریب یکنواختی کریستیان سن قطره‌چکان کرونا در تمام مراحل آزمون بیشتر از ۹۵ درصد بوده و لذا دارای ضریب یکنواختی کریستیان سن



شکل ۳. تغییرات دبی قطره‌چکان‌های میکرو فلاپر



شکل ۶. تغییرات ضریب یکنواختی کریستیان سن سه نوع قطره‌چکان



شکل ۵. تغییرات دبی قطره‌چکان‌های ادن

قطره‌چکان ادن با ۳۸ درصد کمترین نرخ گرفتگی را دارد. در تمام مراحل آزمایش بیشترین و کمترین درصد گرفتگی کامل قطره‌چکان‌ها به ترتیب مربوط به قطره‌چکان ادن و کرونا بوده و دبی میانگین قطره‌چکان

نتیجه‌گیری

نتایج حاصل از تحقیق حاضر نشان داد که قطره‌چکان کرونا با نرخ گرفتگی ۱۲ درصد در پایان آزمایش نسبت به قطره‌چکان میکروفلاپر با نرخ گرفتگی ۳۴ درصد و

علیزاده، ا. ۱۳۸۸. آبیاری قطره ای (اصول و عملیات)، ویرایش دوم، انتشارات آستان قدس رضوی، شماره نشر ۶۳، ۴۵۰ ص.

ناصری، ا.، بابازاده، ح. و نخجوانی، س. ۱۳۹۰. انتخاب مناسب‌ترین دبی گسیلنده با تحلیل توزیع رطوبت از یک گسیلنده نقطه‌ای. نشریه حفاظت منابع آب و خاک، ۱(۱): ۴۲-۲۹.

Anonymous, 2003. Clogging Test Methods for Emitters. ISO Committee, ISO /TC 23/SC 18.

Anonymous, 1997. ISO 8486-1. Bond abrasives determination and designation of grain size distribution Macrogrits F4-F220.

Balogh, J. & Gergely.I. 1985. Basic aspects of trickling irrigation. Translated by Alizadeh, A. and Khiabani, H., 275pp.

Boman, B.J. 1995. Effects of orifice size on microsprinkler clogging rates, Applied Engineering in Agriculture. 11 (6):839-843.

Bralts, V.F., Wu, I.P. & Gitlin, H.M. 1981. Manufacturing variation and drip uniformity, Transaction of the ASAE, 24 (1): 113-119.

Gilbert, R.G., Nakayama, F.S. & Bucks, D.A. 1979. Trickle irrigation of clogging, Transaction of the ASAE, 22: 514-519.

Keller, J. & Bliesner, R.D. 1990. Sprinkle and trickle irrigation. van Nostrand Reinhold, New York, 652 pp.

Nakayama, F.S. & Bucks, D.A. 1981. Emitter clogging effects on trickle irrigation uniformity, Transaction of the ASAE, 24(1): 77-80.

Nakayama, F.R. & Bucks, D.A. 1991. Water quality in drip/trickle irrigation: a review. Irrigation Science, 12(4): 187-192.

Niu, W., Liu, L. & Chen, X. 2012. Influence of fine particle size and concentration on the clogging of labyrinth emitters, Irrigation Science, 10(2): 271-328.

Pitts, D.J., Haman, D.Z. & Smajstrla, A.G. 1990. Causes and prevention of emitter plugging in micro irrigation system, University of Florida, Bulletin, 258 pp.

Pitts, D.J., Haman, D.Z. & Smajstrla, A.G. 2003. Causes and prevention of emitter plugging in micro irrigation systems. BUL258, Gainesville, University of Florida, IFAS, Extension, 1-11.

Wei, Q.S., Lu, G. & Liu, J. 2008a. Evaluation of emitter clogging in drip irrigation by two-phase flow simulation and laboratory experiments, computers and electronics in agriculture, 63: 294-303.

کرونا در ۸ فاز آزمایش، بیشتر از ۰/۸۹ دبی اسمی آن بود. مقایسه مقادیر ضربی یکنواختی قطره‌چکان‌ها هم بیانگر عملکرد ضعیف قطره‌چکان‌های ادن و میکروفلاپر است. در مجموع نتایج بدست آمده از این تحقیق عملکرد خوب عدم گرفتگی قطره‌چکان کرونا را اثبات نموده و برتری محسوس آنرا بر دو قطره‌چکان دیگر نشان می‌دهد. قطره‌چکان‌های میکروفلاپر و ادن نیز به ترتیب در اولویت‌های دوم و سوم قرار می‌گیرند.

فهرست منابع

اردشیری، ح. ۱۳۹۰. بررسی تأثیر غاظت مواد کلوییدی و زمان کارکرد سیستم آبیاری قطره‌ای بر کاهش دبی قطره‌چکان‌های نتافیم و لوله‌های قطره‌چکان دار، پایان‌نامه کارشناسی ارشد، دانشکده کشاورزی، دانشگاه شهید چمران اهواز، ۱۳۳۲ صفحه.

حجاری، م. و گرجی، ع. ۱۳۸۶. ضرورت توسعه روش‌های آبیاری تحت فشار و بررسی روند اجرایی طرح، سمینار علمی طرح ملی آبیاری تحت فشار و توسعه پایدار، کرج، ۲ اسفند، ۱۱-۱ ص.

حسن‌زاده آرنایی، ش. و فتحی، پ. ۱۳۹۲. بررسی اثر قطره ذرات بر گرفتگی فیزیکی نوارهای آبیاری قطره‌ای، نشریه حفاظت منابع آب و خاک، ۲ (۳): ۷۳-۸۱.

ذوالفقاران، ا.، فرزامنیا، م. و نادری، ن. ۱۳۸۲. ارزیابی سیستم‌های آبیاری موضعی در حال کار با آبهای نامتعارف، گزارش پژوهشی شماره ۳۸، مؤسسه تحقیقات فنی و مهندسی کشاورزی، ۱۰-۱ ص.

زارعی، ق.، نخجوانی مقدم، م. و ذوالفقاران، ا. ۱۳۸۵. بررسی علل گرفتگی قطره‌چکان‌ها در شرایط اقلیمی ایران، دومین کارگاه خرد آبیاری، ۱۱-۱ ص.

شهرابی، ت. و گارزی، ن. ۱۳۷۵. بررسی کارایی آبیاری زیرزمینی با لوله‌های پلاستیکی تراوا. دومین کنگره ملی مسائل آب و خاک کشور، وزارت کشاورزی، سازمان تحقیقات، آموزش و ترویج کشاورزی، صفحه ۱۱۶-۹۳.

- Solomon, K.H. 1985. Global uniformity of trickle irrigation system, Transaction of the ASAE, 28(4): 1151-1158.
- Wei, Q., Shi, Y., Lu, G., Dong, W. & Huang, S. 2008b. Rapid evaluations of anticlogging performance of drip emitters by laboratorial short-cycle tests, Journal of Irrigation and Drainage Engineering, 134: 298-304.

Archive of SID



ISSN 2251-7480

Laboratorial evaluating of physical anti-clogging performance of Micro flapper, Corona and Eden emitters in drip irrigation

Chanour Abdi¹ and Parviz Fathi^{2*}

1*) M.Sc. Student of Irrigation and Drainage, Department of Water Engineering, University of Kurdistan, Kurdistan, Iran

2*) Assistant Professor, Department of Water Engineering, University of Kurdistan, Kurdistan, Iran

Corresponding author email: Fathip2000@yahoo.com

Received: 16-02-2013

Accepted: 22-09-2014

Abstract

Using pressurized irrigation is one of the most effective practices for conservation of water resources. Emitters clogging are the most important problems in operating drip irrigation system which reduces the emission uniformity and irrigation efficiency. Evaluating the anti-clogging performance of emitters and clogging thresholds, are the first and most important step in optimal design of irrigation water filtration system. The objective of this study was to evaluate the physical anti-clogging performance of three types of pressure compensation emitters including Micro flapper, Corona and Eden in laboratorial scale. For this purpose, a physical model of drip irrigation system with water and sand mixing tank was established and the discharge rate of emitters by various concentration and particle sizes was measured at eight phases. The average discharge, clogging rate and uniformity coefficient indices were calculated for the three types of emitters in different phases. The result showed that Corona and Eden emitters with 12 and 37 percent of clogging rates have the best and worst performances, respectively. The results also indicated that the uniformity coefficient of corona emitters is larger than 95% in all phases during the experiment. Based on the results of the study, Corona emitter stand as the best physical anti-clogging performance and it can be recommended to be use in farms and gardens.

Keywords: clogging; drip irrigation; pressure compensation emitters; sand particles